

MAE 5776

ANÁLISE MULTIVARIADA

Júlia M Pavan Soler
pavan@ime.usp.br

1º Semestre IME/2019

Dados Multivariados

Banco de Dados:

Unidades Amostrais	Variáveis					
	1	2	...	j	...	p
1	Y_{11}	Y_{12}		Y_{1j}		Y_{1p}
2	Y_{21}	Y_{22}		Y_{2j}		Y_{2p}
...
i	Y_{i1}	Y_{i2}		Y_{ij}		Y_{ip}
...
n	Y_{n1}	Y_{n2}		Y_{nj}		Y_{np}



$$Y_{n \times p} = \begin{pmatrix} y_{ij} \end{pmatrix}: \text{Matriz de Dados}$$

↑
resposta do i-ésimo “indivíduo” na j-ésima variável

Espaço das unidades amostrais (indivíduos): Linhas de Y
Espaço das variáveis: Colunas de Y

MOTIVAÇÃO

Exemplos considerados em Manly, 2005.

Medidas biométricas (mm) de Pardais fêmea

Variável que
define grupos

(Hermon Bumps, 1898).

Variáveis
quantitativas
avaliadas nas u.a.

Pardal	Sobrev.	X1	X2	X3	X4	X5
1	S	156	245	31.6	18.5	20.5
...	...					
21	S	159	236	31.5	18.0	21.5
22	N	155	240	31.4	18.0	20.7
...	...					
49	N	164	248	32.3	18.8	20.9

tamanhos
amostrais

Análise dos dados \Rightarrow pode dar suporte à teoria da Seleção Natural de Darwin

Discuta possíveis questões de interesse.

MOTIVAÇÃO

Exemplos considerados em Manly, 2005.

Cães pré-históricos da Tailândia.

Grupo	X1	X2	X3	X4	X5	X6
G1	9.7	21.0	19.4	7.7	32.0	36.5
G2	8.1	16.7	18.3	7	30.3	32.9
G3	13.5	27.3	26.8	10.6	41.9	48.1
G4	11.5	24.3	24.5	9.3	40.0	44.6
G5	10.7	23.5	21.4	8.5	28.8	37.6
G6	9.6	22.6	21.1	8.3	34.4	43.1
Cão Pré-h	10.3	22.1	19.1	8.1	32.2	35.0

Discuta possíveis questões de interesse:

Qual grupo de animal está mais “próximo” do cão pré-histórico? E qual está mais “distante” ?

MOTIVAÇÃO

Exemplos considerados em Manly, 2005.

Força de trabalho em países da Europa.

País	Região	Agr	Min	Man	PS	Cons	Ser	Fin	SPS	TC
P1	U.E.	2.6	0.2	20.8	0.8	6.3	16.9	8.7	36.9	6.8
...	...									
P11	U.E.									
P12	EFTA	7.4	0.3	26.9	1.2	8.5	19.1	6.7	23.3	6.4
...	...									
P17	EFTA									
P18	Leste	55.5	19.4	0.0	0.0	3.4	3.3	15.3	0.0	3.0
...	...									
P25	Leste									
P26	Outro	13.5	0.3	19.0	0.5	9.1	23.7	6.7	21.2	6.0
...	...									
P30	Outro	44.8	0.9	15.3	0.2	5.2	12.4	2.4	14.5	4.4

Discuta possíveis questões de interesse:

Como “discriminar” as regiões? Com base na força de trabalho de um novo país, como “classificá-lo”?

MOTIVAÇÃO

Dados apresentados em Mardia et al. (2003)

MULTIVARIATE ANALYSIS

12

Table 1.4.1 Weights of cork deposits (in centigrams) for 28 trees in the four directions (after Rao, 1948)

N	E	S	W	N	E	S	W
72	66	76	77	91	79	100	75
60	53	66	63	56	68	47	50
56	57	64	58	79	65	70	61
41	29	36	38	81	80	68	58
32	32	35	36	78	55	67	60
30	35	34	26	46	38	37	38
39	39	31	27	39	35	34	37
42	43	31	25	32	30	30	32
37	40	31	25	60	50	67	54
33	29	27	36	35	37	48	39
32	30	34	28	39	36	39	31
63	45	74	63	50	34	37	40
54	46	60	52	43	37	39	50
47	51	52	43	48	54	57	43

Discuta possíveis questões de interesse:

Em qual direção de crescimento das árvores há maior variabilidade no armazenamento de cortiça?

BANCO DE DADOS: HATCO

Unidades amostrais: Clientes da HATCO

(Hair et al., 2005)

ID	X1	X2	X3	X4	X5	X6	X7	X8	X9	X10	X11	X12	X13	X14
1	4,1	0,6	6,9	4,7	2,4	2,3	5,2	0	32	4,2	1	0	1	1
2	1,8	3,0	6,3	6,6	2,5	4,0	8,4	1	43	4,3	0	1	0	1
3	3,4	5,2	5,7	6,0	4,3	2,7	8,2	1	48	5,2	0	1	1	2
4	2,7	1,0	7,1	5,9	1,8	2,3	7,8	1	32	3,9	0	1	1	1
5	6,0	0,9	9,6	7,8	3,4	4,6	4,5	0	58	6,8	1	0	1	3
6	1,9	3,3	7,9	4,8	2,6	1,9	9,7	1	45	4,4	0	1	1	2
...														
97	6,1	0,5	9,2	4,8	3,3	2,8	7,1	0	60	5,2	1	0	1	3
98	2,0	2,8	5,2	5,0	2,4	2,7	8,4	1	38	3,7	0	1	0	1
99	3,1	2,2	6,7	6,8	2,6	2,9	8,4	1	42	4,3	0	1	0	1
100	2,5	1,8	9,0	5,0	2,2	3,0	6,0	0	33	4,4	1	0	0	1

Var. da Percepção dos Clientes
sobre o Fornecedor (HATCO)
Escala: [0,10]

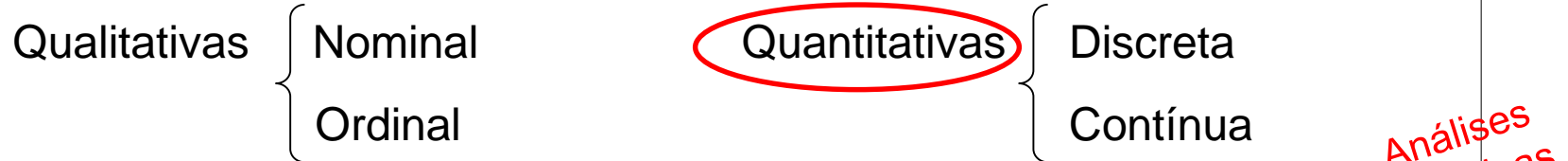
Var. do Produto
Escala X9: [0,100]
Escala X10: [0,10]

Demais variáveis:
Características do
Cliente (empresa
compradora)

Dados Multivariados

$Y_{n \times p} = (y_{ij})$: Matriz de Dados

- Classificação das Variáveis:



- $n > p$ (Hair et al., 2005: $n>100$; $n>5p$; $|\rho|>0,30$)
- Observações (unidades amostrais) independentes: n é tamanho amostral



“Big data”: $n \ll p$

Observações correlacionadas (*clusters* – região, grau de parentesco): como calcular o tamanho amostral “efetivo”

MOTIVAÇÃO

Plataformas de Bancos de Dados

- Kaggle: <https://www.kaggle.com>

[ChestX-ray8_Hospital-Scale_Chest_CVPR_2017_paper.pdf](#) (Wang et al., 2016).

This Dataset is comprised of 112,120 X-ray images with disease labels from 30,805 unique patients. There are 12 zip files in total and range from ~2gb to 4gb in size. Additionally, we took a random sample (5%) of these images containing 5,606 X-ray images and class labels...

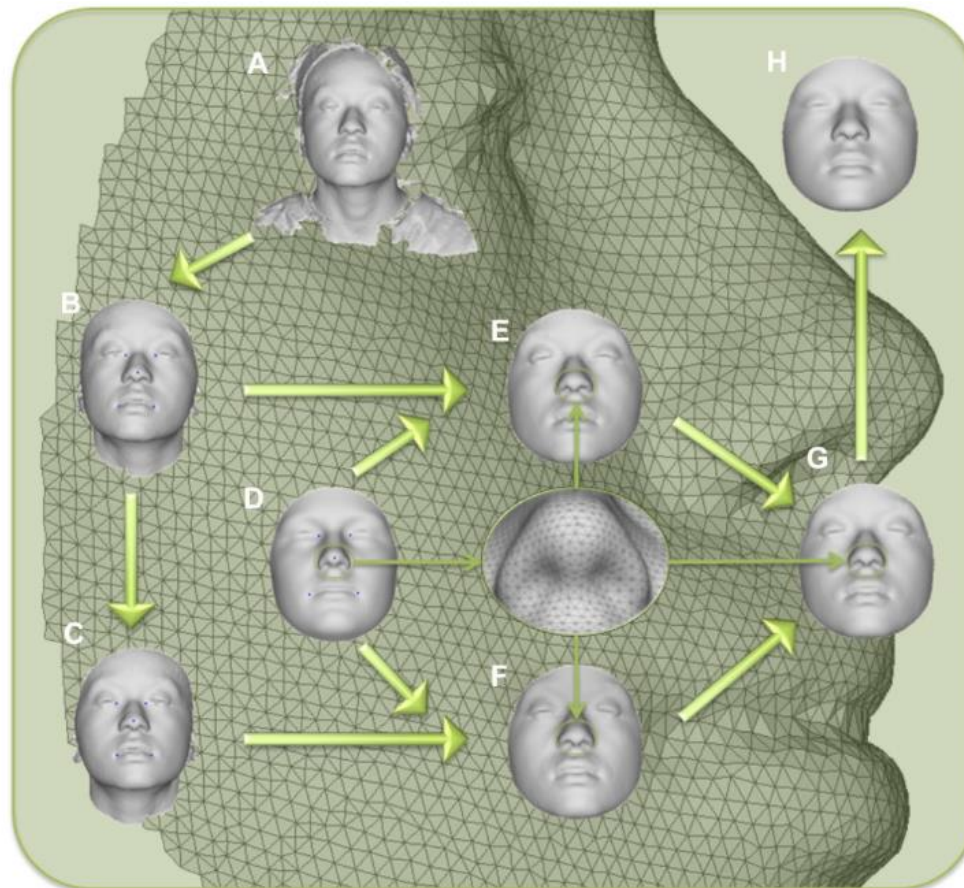
- Estudos do genoma de populações mundiais

EpiGen (<http://epigen.grude.ufmg.br/>): mapeamento genético da asma, crescimento e longevidade. Inclui 6.600 indivíduos de Salvador (BA), Pelotas (RS) e Bambuí (MG). 2,5 milhões SNPs (amostra total), 5 milhões SNPs (subamostra) e o sequenciamento de 30 indivíduos.

Projeto Corações de Baependi (LBMGC-InCor/USP; Oliveira et al., 2008): estudo Longitudinal (2006, 2012, 2018), ≈2.000 indivíduos de 120 famílias, 1 milhão SNPs (amostra total), exoma e metaboloma (subamostra).

Morfometria da Face Humana

⇒ A variabilidade da face humana tem sido largamente estudada cientificamente, mas sua predição (fontes dessa variabilidade) é ainda objeto de grande desafio.



Máscara antropométrica para processamento e digitalização 3D da antropometria da face.

Claes, P. et al. (2014). Modeling 3D facial shape from DNA. Plos Genetics 10 (3):1-14.

Transcriptoma

⇒ Em Transcriptômica, um grande desafio é entender as diferentes fontes de variação que influenciam a intensidade de expressão de genes. Por exemplo, a expressão diferencial de um gene é maior entre diferentes tecidos ou entre diferentes indivíduos (replicatas biológicas)?

Irizarry, R.A. and Love, M.I.

Data Analysis for the Life Sciences, 2015.

$$Y_{189 \times 22.215} = \begin{pmatrix} Y_1' \\ \dots \\ Y_{189}' \end{pmatrix} = (Y_{(1)}, \dots, Y_{(22.215)})$$

```
library(devtools)
install_github("genomicsclass/tissuesGeneExpression")

library(tissuesGeneExpression)
data(tissuesGeneExpression)
dim(e) ## e contains the expression data
## [1] 22215 189

table(tissue) ##tissue[i] tells us what tissue is represented by e[,i]
## tissue
## cerebellum colon endometrium hippocampus kidney liver placenta
## 38          34      15          31          39          26          6
```

Matriz de Dados

$$Y_{n \times p} = \begin{pmatrix} Y_1' \\ Y_2' \\ \dots \\ Y_n' \end{pmatrix} = (Y_{(1)}, Y_{(2)}, \dots, Y_{(p)})$$

“Q-espaco”

Espaço dos indivíduos: n vetores em um espaço p-dimensional (\mathbb{R}^p)

$$Y_i^{(p \times 1)} = (Y_{i1}, Y_{i2}, \dots, Y_{ip})'; \quad i = 1, 2, \dots, n$$

“R-espaco”

Espaço das variáveis: p vetores em um espaço n-dimensional (\mathbb{R}^n)

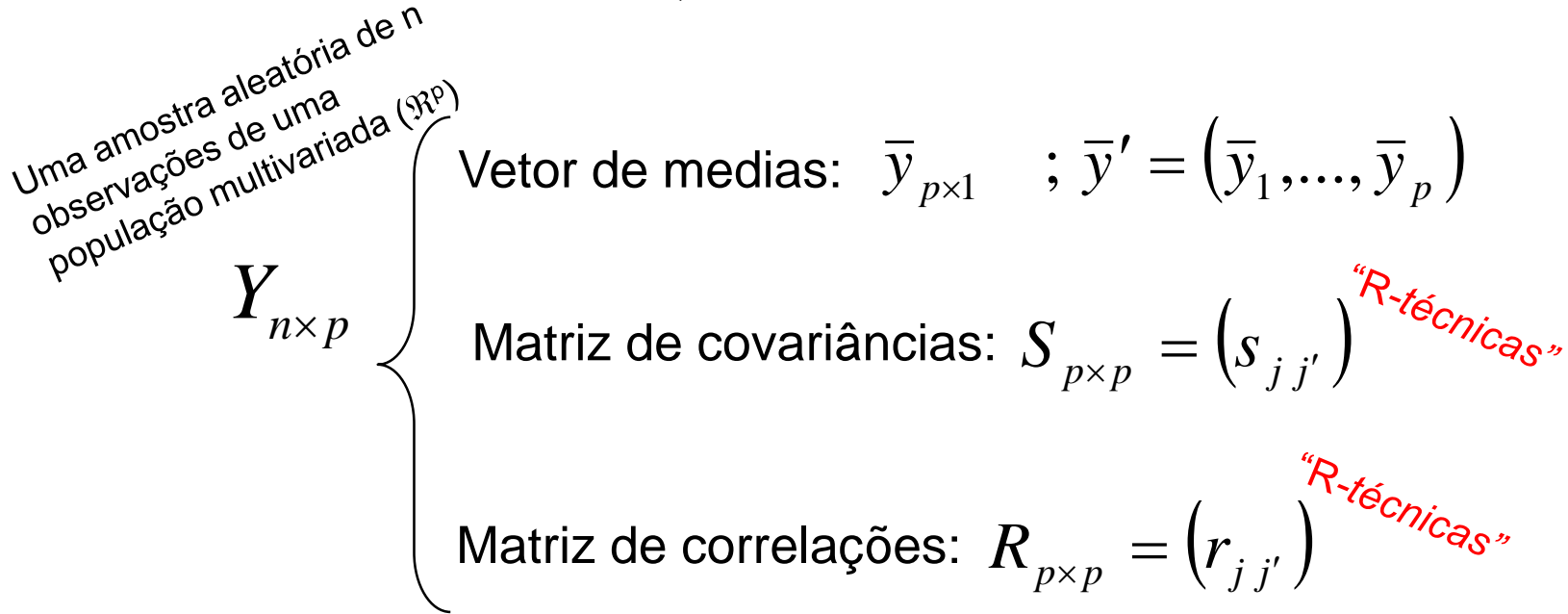
$$Y_{(j)(n \times 1)} = (Y_{1j}, Y_{2j}, \dots, Y_{nj})'; \quad j = 1, 2, \dots, p$$



Explorar as propriedades geométricas de espaços vetoriais

Estatísticas Descritivas

Dados Multivariados Quantitativos:



$$\bar{y}_j ?$$

$$s_{j j'} ?$$

$$r_{j j'} ?$$

Conceito de produto interno!

Estatísticas Descritivas

$$\bar{Y}_j = \frac{1}{n} \sum_{i=1}^n Y_{ij} = \frac{1}{n} Y_{(j)}' \mathbf{1}_n$$

Média da variável j (escalar)
 $\mathbf{1}$: vetor ($n \times 1$) de valores 1
 $\mathbf{1}'$: vetor transposto

$$s_{jj'} = \frac{1}{n} \sum_{i=1}^n (Y_{ij} - \bar{Y}_j)(Y_{ij'} - \bar{Y}_{j'})$$

Covariância entre as variáveis j e j' (escalar)

$$r_{jj'} = \frac{s_{jj'}}{\sqrt{s_{jj}} \sqrt{s_{j'j}}} = \frac{\sum_{i=1}^n (Y_{ij} - \bar{Y}_j)(Y_{ij'} - \bar{Y}_{j'})}{\sqrt{\sum_{i=1}^n (Y_{ij} - \bar{Y}_j)^2} \sqrt{\sum_{i=1}^n (Y_{ij'} - \bar{Y}_{j'})^2}}$$

Correlação entre as variáveis j e j' =
Covariância entre as variáveis j e j' padronizadas

$$\bar{Y}_{p \times 1} = \begin{pmatrix} \bar{Y}_1 \\ \dots \\ \bar{Y}_p \end{pmatrix} = \frac{1}{n} \mathbf{1}'_n Y = \frac{1}{n} Y' \mathbf{1}_n$$

Centróide: vetor de médias das p variáveis

Matriz de covariâncias

Produto interno centrado

$$S_{p \times p} = (s_{jj'}) = \frac{1}{n} \sum_{i=1}^n (Y_i - \bar{Y})(Y_i - \bar{Y})' = \frac{1}{n} (Y'Y - n\bar{Y}\bar{Y}')$$

$$= \frac{1}{n} \left(Y'Y - \frac{1}{n} Y' \mathbf{1} \mathbf{1}' Y \right) = \frac{1}{n} \left[Y' \left(I_n - \frac{1}{n} \mathbf{1} \mathbf{1}' \right) Y \right] = \frac{1}{n} Y' H Y$$

HY: centralizar as linhas de Y

$$= (HY)' HY$$

$$H = I_n - \frac{1}{n} \mathbf{1} \mathbf{1}' = I_n - n^{-1} J J'$$

H é matriz simétrica e idempotente (H=H', H=H²)

$$(Y'Y)_{p \times p} = \sum_{i=1}^n Y_i Y_i' \quad \text{Produto interno ordinário (soma de quadrados e produtos cruzados)}$$

$$S_{p \times p} = \frac{1}{n} Y' H Y = \begin{pmatrix} S_{11} & S_{12} & & S_{1p} \\ S_{21} & S_{22} & & S_{2p} \\ & & \dots & \\ S_{p1} & S_{p2} & & S_{pp} \end{pmatrix}; H=H', H=H^2$$

- S é matriz positiva semidefinida (p.s.d)

$$a' S a = \frac{1}{n} a' Y' H Y a = \frac{1}{n} a' Y' H' H Y a = \frac{1}{n} u' u \geq 0; \quad u = H Y a$$

n>p: S é p.d.

- Matriz de correlações

$$R = D_{s_{jj}}^{-1/2} S D_{s_{jj}}^{-1/2} \quad S = D_{s_{jj}}^{1/2} R D_{s_{jj}}^{1/2}; \quad D_{s_{jj}}^{1/2} = diag\left(\sqrt{s_{jj}}\right)$$

- Matriz de covariâncias com denominador (n-1)

$$S_u = \frac{n}{n-1} S = \frac{1}{n-1} Y' H Y$$

"no R": cov(Y)

- Decomposição Espectral (de matriz quadrada)

$$S = V\Lambda V'; \quad VV' = V'V = I \quad \begin{matrix} V: \text{Matriz de autovetores (ortonormal)} \\ \Lambda: \text{Matriz diagonal de autovalores} \end{matrix}$$

$$|S - \lambda I_p| = 0 \quad \text{Obter os autovalores (raízes características)}$$

$$SV_j = \lambda_j V_j \quad \text{Obter os autovetores}$$

- Variância total (traço da matriz de covariâncias)

$$trS = tr\Lambda = \sum_{j=1}^p \lambda_j$$

*Obter vetores
reducionistas: max(trS)*

- Variância generalizada (determinante da matriz de covariâncias) *E.M.V.S.*

$$|S| = |\Lambda| = \prod_{j=1}^p \lambda_j \quad |S| = (S_{11} S_{22} \dots S_{pp}) |R|$$

Matriz de Precisão - Correlação Parcial

- Matriz de Covariâncias e Correlação entre Variáveis

$$Y_{n \times 3} = (Y_{(1)}, Y_{(2)}, Y_{(3)})$$

Grafos
Não-direcionados

$$S_{3 \times 3} = \begin{pmatrix} s_{11} & s_{12} & s_{13} \\ & s_{22} & s_{23} \\ & & s_{33} \end{pmatrix}$$

$$r_{jk} = \frac{s_{jk}}{\sqrt{s_{jj}} \sqrt{s_{kk}}}$$

Correlação (marginal) entre
as variáveis Yj e Yk

- Matriz de Precisão (Concentração) - Correlação Parcial entre Variáveis

$$S^{-1} = \begin{pmatrix} s_{11} & s_{12} & s_{13} \\ & s_{22} & s_{23} \\ & & s_{33} \end{pmatrix}^{-1} = \begin{pmatrix} \omega_{11} & \omega_{12} & \omega_{13} \\ & \omega_{22} & \omega_{23} \\ & & \omega_{33} \end{pmatrix}$$

$$r_{jk|l} = r(Y_j, Y_k | Y_l) = \frac{-\omega_{jk}}{\sqrt{\omega_{jj}} \sqrt{\omega_{kk}}};$$

Correlação parcial entre pares de
variáveis dado as demais variáveis

$$r_{jk|l} = 0 \Leftrightarrow \omega_{jk} = 0$$

No caso da N_p : correlação parcial nula \Rightarrow
independência aos pares \Rightarrow independência total

Correlação Parcial - Aprendizado de Estruturas

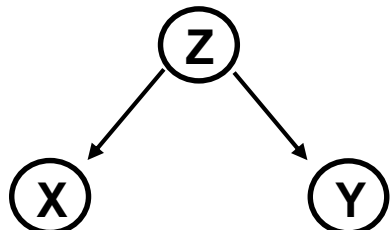
Ribeiro et al., 2016.

Padrões de dependência entre trios de variáveis

Grafos
Direcionados

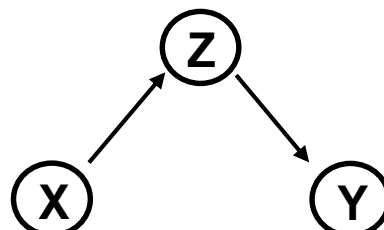
Caso 1

Z é causa comum
Z é confundidor



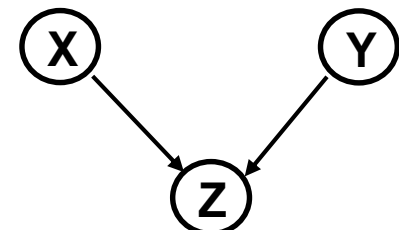
Caso 2

Z é efeito intermediário
X tem efeito indireto sobre Y



Caso 3

Z é efeito comum
(colisão não conectada
ou v-estrutura)



$(X \perp Y)$ correlacionados
marginalmente

$(X \perp Y | Z)$ condicionalmente
independentes

Grafos diferentes mas com
Modelos Probabilísticos
Equivalentes

$(X \perp Y)$ independência
marginal

$(X \perp Y | Z)$ dependência
condicional

Transformações Lineares de Variáveis

- Combinações Lineares

i-ésimo indivíduo

Combinação linear ou um contraste de interesse

- $Y_{i_{p \times 1}} \in \mathbb{R}^p \Rightarrow X_{i_{1 \times 1}} \in \mathbb{R}; \quad X_i = a' Y_i = \sum_{j=1}^p a_j Y_{ij}; \quad a \in \mathbb{R}^p$

para n indivíduos

$$X_{n \times 1} = Y_{n \times p} a_{p \times 1}$$

$$\left\{ \begin{array}{l} \bar{X}_{1 \times 1} = \frac{1}{n} \sum_{i=1}^n X_i = \frac{1}{n} \sum_{i=1}^n a' Y_i = a' \bar{Y} \\ s_{X_{1 \times 1}} = \frac{1}{n} \sum a' (Y_i - \bar{Y})(Y_i - \bar{Y})' a = a' S_Y a \end{array} \right.$$

i-ésimo indivíduo

- $Y_{i_{p \times 1}} \in \mathbb{R}^p \Rightarrow X_{i_{q \times 1}} \in \mathbb{R}^q; \quad X_i = A_{q \times p} Y_i + b_{q \times 1}; \quad A \in \mathbb{R}^{q \times p}, b \in \mathbb{R}^p$

para n indivíduos

$$X_{n \times q} = YA' + \mathbf{1}_n b'$$

$$\left\{ \begin{array}{l} \bar{X}_{q \times 1} = \bar{Y}A' + b \\ S_{X_{q \times q}} = AS_Y A'; \end{array} \right.$$

Transformações Lineares – Medidas de Distância

⇒ Distância Euclidiana entre observações

“Q-técnicas”

Matriz de distâncias

$$Y_{i_{pxl}} \in \mathfrak{R}^p \Rightarrow d_E \in \mathfrak{R}; \quad d_{E_{ik}}^2 = d_{ik}^2 = (Y_i - Y_k)' (Y_i - Y_k) \Rightarrow D_{En \times n} = (d_{ik})$$

- Seja: $B_{n \times n} = (b_{ik}); \quad b_{ik} = (Y_i - \bar{Y})' (Y_k - \bar{Y});$

$$B_{n \times n} = HY(HY)' = HYY'H = H M H; \quad H = I_n - n^{-1} \mathbf{1}_n \mathbf{1}_n'; \quad M = \left(-\frac{1}{2} d_{ik}^2 \right);$$

$$\text{Então: } d_{ik}^2 = b_{ii} + b_{kk} - 2b_{ik}$$

Obter Coordenadas Principais (HY) a partir de distâncias entre objetos

$$b_{ik} = (Y_i - \bar{Y})' (Y_k - \bar{Y}) = -\frac{1}{2} (d_{ik}^2 - d_{i.}^2 + d_{.k}^2 - 2d_{..}^2)$$

$$d_{i.}^2 = \frac{1}{n} \sum_{j=1}^n d_{ij}^2; \quad d_{.j}^2 = \frac{1}{n} \sum_{i=1}^n d_{ij}^2; \quad d_{..}^2 = \frac{1}{n^2} \sum_{i=1}^n \sum_{j=1}^n d_{ij}^2$$

Transformações Lineares – Medidas de Distância

■ Transformação de Escala (padronização)

$$Y_{i_{p \times 1}} \Rightarrow Y_{i_{p \times 1}}^* = D_{s_{jj}}^{-1/2} (Y_i - \bar{Y})$$

$$S_{Y^*} = \frac{1}{n} \sum_{i=1}^n Y_i^* Y_i^{*' *} = \frac{1}{n} Y^{*' *} Y^* = R_{Y^*} = R_Y$$

“Q-espaco”

Matriz de covariâncias (ou de correlações) das variáveis padronizadas é a matriz de correlação das variáveis originais

$$(Y_i^*)' Y_i^* = (Y_i - \bar{Y})' D^{-1} (Y_i - \bar{Y}) = d_P^2(Y_i, C)$$

$$(Y_i^* - Y_k^*)' (Y_i^* - Y_k^*) = (Y_i - Y_k)' D^{-1} (Y_i - Y_k) = d_P^2(Y_i, Y_k)$$

Distância de Pearson ao quadrado
(Euclidiana padronizada)

■ Transformação de Mahalanobis

$$Y_{i_{p \times 1}} \Rightarrow Z_{i_{p \times 1}} = S^{-1/2} (Y_i - \bar{Y})$$

$$S_Z = I_p$$

Variáveis independentes e variâncias unitárias

$$(Z_i)' Z_i = (Y_i - \bar{Y})' S^{-1} (Y_i - \bar{Y}) = d_M^2(Y_i, C)$$

Distância de Mahalanobis ao quadrado

$$(Z_i - Z_k)' (Z_i - Z_k) = (Y_i - Y_k)' S^{-1} (Y_i - Y_k) = d_M^2(Y_i, Y_k)$$

Como obter Coordenadas Principais neste caso?
Ex. 1.6.1 (Mardia et al., 2003)

Q-Espaço e R-Espaço

“Q-técnicas”

“R-técnicas”

- Distância entre Observações – Correlação entre Variáveis

$$Y_{i_{p \times 1}} \in \Re^p, \quad i = 1, \dots, n \quad \Rightarrow \quad d_{E_{ik}}^2 = (Y_i - Y_k)' (Y_i - Y_k)$$

$$d_{P_{ik}}^2 = (Y_i^* - Y_k^*)' (Y_i^* - Y_k^*) = (Y_i - Y_k)' D_{s_{jj}}^{-1} (Y_i - Y_k)$$

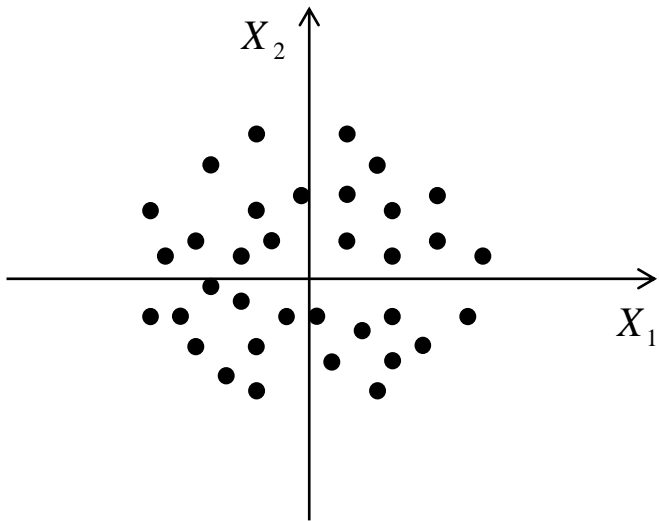
$$Y_{(j)_{n \times 1}} \in \Re^n, \quad j = 1, \dots, p \quad \Rightarrow \quad r_{jl} = \frac{s_{jl}}{\sqrt{s_{jj}} \sqrt{s_{ll}}}$$



$$d_{P_{jl}}^2 = (Y_{(j)}^* - Y_{(l)}^*)' (Y_{(j)}^* - Y_{(l)}^*) = 2(1 - r_{jl})$$

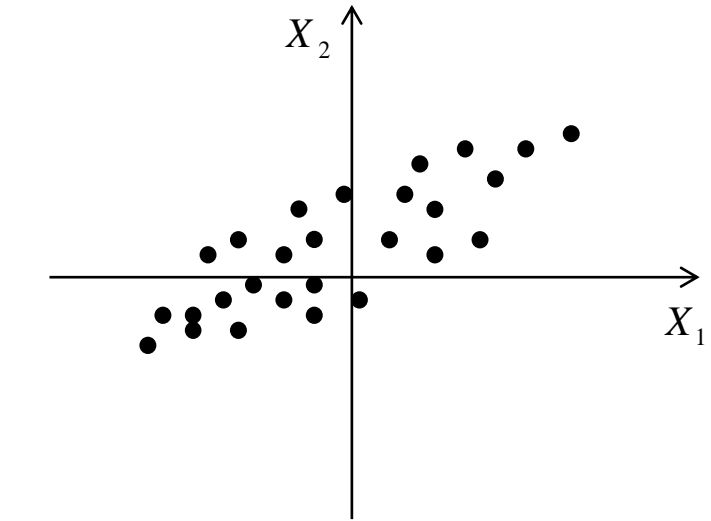
A “distância” de Pearson entre variáveis é medida por sua correlação (coeficiente de correlação linear de Pearson).

Distância entre Observações



Variáveis independentes e variâncias homogêneas \Rightarrow Distância Euclidiana

$$d^2(P, C) = \left(Y_{p \times 1} - \bar{Y}_{p \times 1} \right)' \left(Y_{p \times 1} - \bar{Y}_{p \times 1} \right)$$



Variáveis correlacionadas e variâncias heterogêneas \Rightarrow Distância de Mahalanobis

$$d_M^2(P, \mu) = \left(Y_{p \times 1} - \mu_{p \times 1} \right)' S^{-1} \left(Y_{p \times 1} - \mu_{p \times 1} \right)$$

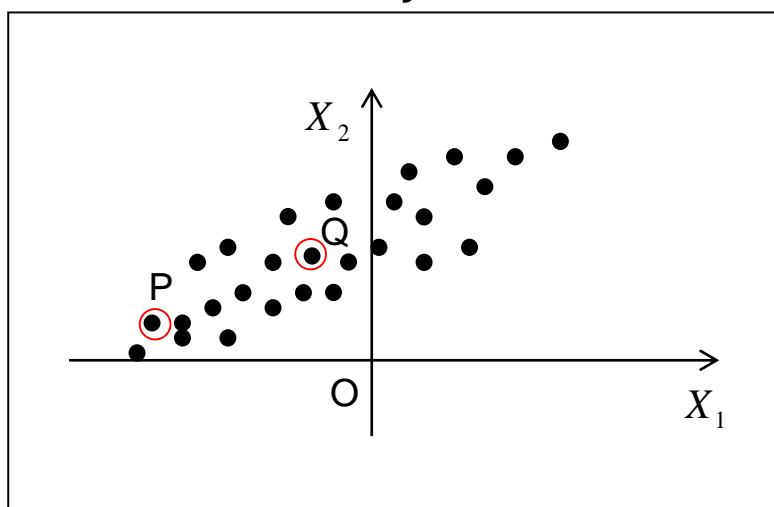
Variáveis independentes e variâncias heterogêneas
 \Rightarrow Distância de Pearson (Euclidiana Padronizada):

$$d^2(P, \mu) = \left(Y_{p \times 1} - \mu_{p \times 1} \right)' D_{s_{jj}}^{-1} \left(Y_{p \times 1} - \mu_{p \times 1} \right)$$

Distância Estatística

- ⇒ Distância Euclidiana é apropriada para variáveis independentes e homocedásticas (variância homogênea).
- ⇒ Quando há heterocedasticidade uma alternativa é usar distância de Pearson, isto é, padronizar as variáveis.
- ⇒ No caso de variáveis correlacionadas e heterocedásticas uma alternativa é usar a distância de Mahalanobis.

Motivação



Johnson and Wichern, 1992.

- ⇒ A distância Euclidiana de Q a P é maior do que a de Q à origem O.
- ⇒ Porém, note que O pode ser considerado ponto atípico (ocorre fora da nuvem de dispersão conjunta de X_1 e X_2), o que não ocorre com o ponto P.
- ⇒ Ao adotar medidas de distância estatística (Pearson, Mahalanobis), Q está mais próximo de P do que de O, o que pode ser mais razoável, considerando a dispersão dos pontos.

Estatísticas Descritivas Multivariadas

Dados do depósito de cortiça (Tabela 1.4.1, Mardia et al., 2003)

Matriz de dados: n=28 observações avaliadas em p=4 variáveis.

$$Y_{28 \times 4} = (Y_{(N)}, Y_{(E)}, Y_{(S)}, Y_{(W)})$$

$$\bar{Y}_{4 \times 1} = \begin{matrix} N & E & S & W \\ 50.53571 & 46.17857 & 49.67857 & 45.17857 \end{matrix}$$

$$S_{4 \times 4} = \begin{pmatrix} s_{11} & s_{12} & s_{13} & s_{14} \\ s_{21} & s_{22} & s_{23} & s_{24} \\ s_{31} & s_{32} & s_{33} & s_{34} \\ s_{41} & s_{42} & s_{43} & s_{44} \end{pmatrix} = \begin{matrix} N & E & S & W \\ \text{N} & 290.41 & 223.75 & 288.44 & 226.27 \\ \text{E} & 223.75 & 219.93 & 229.06 & 171.37 \\ \text{S} & 288.44 & 229.06 & 350.00 & 259.54 \\ \text{W} & 226.27 & 171.37 & 259.54 & 226.00 \end{matrix}$$

divisor=n-1

Há indicação de heterocedasticidade?

$$R_{4 \times 4} = \left(r_{jk} = \frac{s_{jk}}{\sqrt{s_{jj}} \sqrt{s_{kk}}} \right) = \begin{matrix} N & E & S & W \\ \text{N} & 1.00 & 0.89 & 0.90 & 0.88 \\ \text{E} & 0.89 & 1.00 & 0.83 & 0.77 \\ \text{S} & 0.90 & 0.83 & 1.00 & 0.92 \\ \text{W} & 0.88 & 0.77 & 0.92 & 1.00 \end{matrix}$$

A estrutura de correlação uniforme entre as variáveis parece ser adequada?

Estruturas de Correlação

Principais estruturas de correlação	Definição
Independente	$\begin{pmatrix} 1 & 0 & \cdots & 0 \\ 0 & 1 & \cdots & 0 \\ \vdots & \vdots & \ddots & \vdots \\ 0 & 0 & \cdots & 1 \end{pmatrix} \quad R = I_p$
Permutável Equicorrelação, uniforme	$\begin{pmatrix} 1 & \alpha & \cdots & \alpha \\ \alpha & 1 & \cdots & \alpha \\ \vdots & \vdots & \ddots & \vdots \\ \alpha & \alpha & \cdots & 1 \end{pmatrix} \quad R = (1-\alpha)I_p + \alpha \mathbf{1}_p \mathbf{1}_p'$
Não estruturada	$\begin{pmatrix} 1 & \alpha_{1,2} & \cdots & \alpha_{1,t} \\ \alpha_{1,2} & 1 & \cdots & \alpha_{2,t} \\ \vdots & \vdots & \ddots & \vdots \\ \alpha_{1,t} & \alpha_{2,t} & \cdots & 1 \end{pmatrix}$
Auto regressiva de ordem 1	$\begin{pmatrix} 1 & a & \cdots & a^{t-1} \\ a & 1 & \cdots & a^{t-2} \\ \vdots & \vdots & \ddots & \vdots \\ a^{t-1} & a^{t-2} & \cdots & 1 \end{pmatrix}$

Estatísticas Descritivas Multivariadas

Dados do depósito de cortiça (Tabela 1.4.1, Mardia et al., 2003)

$$Y_{28 \times 4} = (Y_{(N)}, Y_{(E)}, Y_{(S)}, Y_{(W)}) \quad Y \in \mathbb{R}^4 \rightarrow X \in \mathbb{R}^3$$

$$X = YA'; \quad A = \begin{pmatrix} 1 & -1 & 1 & -1 \\ 1 & 0 & -1 & 0 \\ 0 & 1 & 0 & -1 \end{pmatrix}$$

Matriz de contrastes

$$\begin{aligned} X_1 &= (N + S) - (E + W) \\ X_2 &= N - S \\ X_3 &= E - W \end{aligned}$$

$$\bar{X}_{3 \times 1} = (8,857 \quad 0,857 \quad 1,000)'$$

$$S_{3 \times 3} = \begin{pmatrix} 124,12 & -20,27 & -25,96 \\ & 61,27 & 26,96 \\ & & 99,50 \end{pmatrix}$$

Padronize as variáveis e *recalcule* o centróide e a matriz de covariâncias de X. Na transformação considere a soma de quadrados dos coeficientes igual a 1.

Dados dos Cães Pré-históricos

```
> m<-round(colMeans(caes), 2)
X1      X2      X3      X4      X5      X6
10.49  22.50  21.51  8.50  34.23  39.69
```

```
> v<-round(cov(caes), 2)
      X1      X2      X3      X4      X5      X6
X1  2.88  5.25  4.85  1.93  6.53  7.74
X2  5.25 10.56  8.90  3.59 11.46 15.58
X3  4.85  8.90  9.61  3.51 13.43 16.31
X4  1.93  3.59  3.51  1.36  4.86  5.92
X5  6.53 11.46 13.43  4.86 24.36 24.68
X6  7.74 15.58 16.31  5.92 24.68 31.52
```

```
> r<-round(cor(caes), 2)
      X1      X2      X3      X4      X5      X6
X1  1.00  0.95  0.92  0.98  0.78  0.81
X2  0.95  1.00  0.88  0.95  0.71  0.85
X3  0.92  0.88  1.00  0.97  0.88  0.94
X4  0.98  0.95  0.97  1.00  0.85  0.91
X5  0.78  0.71  0.88  0.85  1.00  0.89
X6  0.81  0.85  0.94  0.91  0.89  1.00
```

```
> trv<-sum(diag(v)) ## 80.29
> detv<-det(v)   ## 0.114878
```

divisor=(n-1)

Os cães são mais heterogêneos relativamente a qual variável?

A estrutura de correlação uniforme entre as variáveis parece ser adequada?

```

> de<-round(dist(caes),2) ##dist Euclidiana
  1      2      3      4      5      6
2  6.21
3 18.70 24.34
4 13.13 18.55  5.99
5  4.83  9.44 18.38 13.64
6  7.43 12.94 12.50  7.26  7.98
7 2.03  6.62 19.20 13.78  5.09  8.67

```

*Qual cão está mais próximo do pré-histórico?
Calcule diferentes medidas de distância.*

```

> ysd<-scale(caes, center = FALSE, scale = TRUE)
> dep<-round(dist(ysd),2) ##dist de Pearson
  1      2      3      4      5      6
2  0.26
3  0.72  0.96
4  0.45  0.68  0.29
5  0.20  0.43  0.61  0.38
6  0.20  0.42  0.57  0.30  0.22
7 0.09  0.33  0.68  0.43  0.17  0.22

```

```

> d2m<-round(mahalanobis(caes,m,v),2) ##dist Mahalanobis ao Centróide
3.06 4.97 5.08 5.42 5.21 5.00 4.74

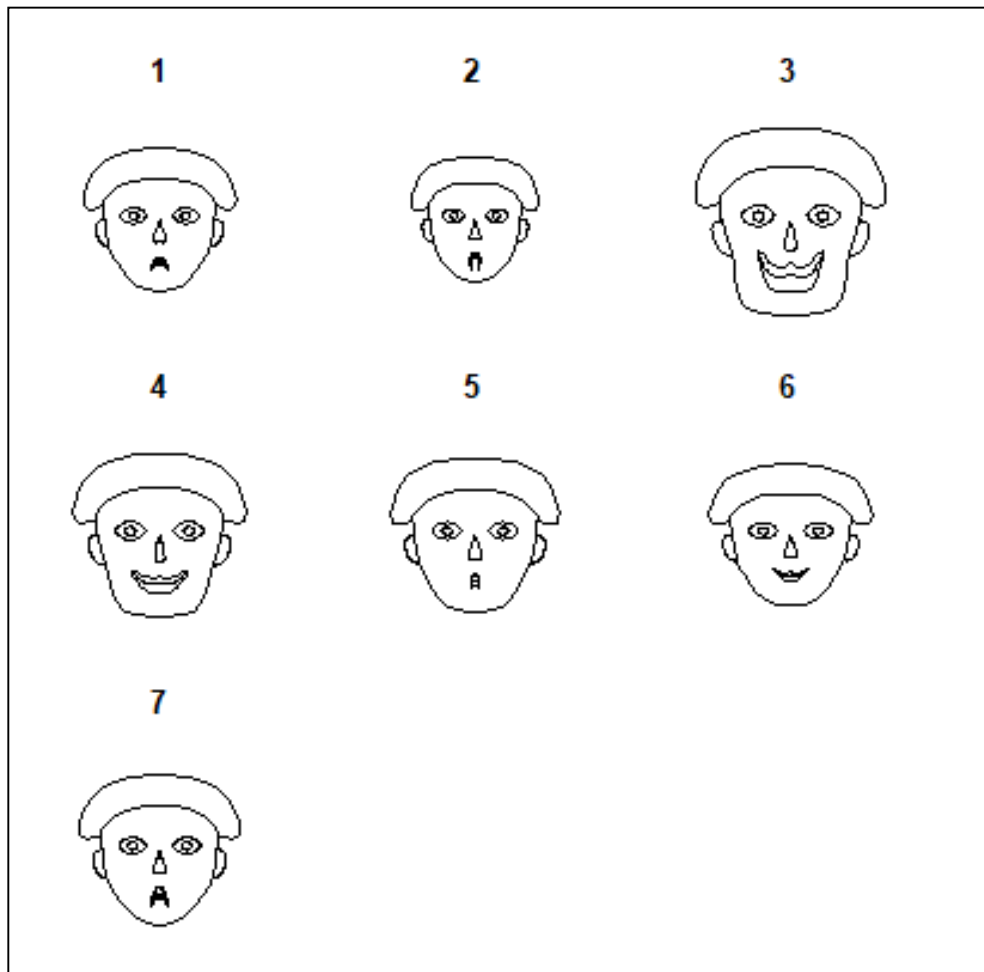
```

```

> dm1my<-t(t(y[1,])-t(y[7,]))%*%solve(v)%*%(t(y[1,])-t(y[7,]))
  1      2      3      4      5      6          ##dist Mahalanobis ao Cão pré-h
7.68 11.84 11.53 11.75 11.76 11.89

```

```
> library(TeachingDemos) ##faces de Chernoff  
> faces(as.matrix(y), fill=T) ##unidades amostrais
```



*Qual cão está mais próximo do pré-histórico?
Calcule diferentes medidas de distância.*

Correlação Parcial

Exemplo: Dados do peso de Cortiça - “Aprendizado” da relação entre variáveis

```
> round(cov(dcork), 2)
```

	N	E	S	W
N	290.41	223.75	288.44	226.27
E	223.75	219.93	229.06	171.37
S	288.44	229.06	350.00	259.54
W	226.27	171.37	259.54	226.00

```
> round(cor(dcork), 2)
```

	N	E	S	W
N	1.00	0.89	0.90	0.88
E	0.89	1.00	0.83	0.77
S	0.90	0.83	1.00	0.92
W	0.88	0.77	0.92	1.00

Correlação (marginal)
alta entre todos os
pares de variáveis

```
> library(ppcor)  
> pc<-ppcor(x=dcork)  
> round(pc$estimate, 4)
```

	N	E	S	W
N	1.0000	0.5933	0.2683	0.3384
E	0.5933	1.0000	0.2067	-0.1770
S	0.2683	0.2067	1.0000	0.6330
W	0.3384	-0.1770	0.6330	1.0000

Correlação parcial entre pares
de variáveis dado as demais.

Testar a significância das pcor!

Correlação Parcial

Exemplo: Dados do peso de Cortiça - “Aprendizado” da relação entre variáveis

```
> library(ppcor)
> pc<-ppcor(x=dcork)
> round(pc$estimate, 4)
```

	N	E	S	W
N	1.0000	0.5933	0.2683	0.3384
E	0.5933	1.0000	0.2067	-0.1770
S	0.2683	0.2067	1.0000	0.6330
W	0.3384	-0.1770	0.6330	1.0000

```
> library(ppcor)
> pc<-ppcor(x=dcork)
> round(pc$p.value, 4)
```

	N	E	S	W
N	0.0000	0.0014	0.1850	0.0909
E	0.0014	0.0000	0.3111	0.3870
S	0.1850	0.3111	0.0000	0.0005
W	0.0909	0.3870	0.0005	0.0000

Teste de correlação parcial
nula (Teste z de Fisher)

Correlações Parciais:

S — W — N — E

dependências
condicionais

Correlação Parcial

Exemplo: Dados dos Cães - “Aprendizado” da relação entre variáveis

```
> v<-round(cov(caes),2)
```

	X1	X2	X3	X4	X5	X6
X1	2.88	5.25	4.85	1.93	6.53	7.74
X2	5.25	10.56	8.90	3.59	11.46	15.58
X3	4.85	8.90	9.61	3.51	13.43	16.31
X4	1.93	3.59	3.51	1.36	4.86	5.92
X5	6.53	11.46	13.43	4.86	24.36	24.68
X6	7.74	15.58	16.31	5.92	24.68	31.52

```
> library(ppcor)
> pc<-pcor(x=caes)
> round(pc$estimate,4)
```

	X1	X2	X3	X4	X5	X6
X1	1.0000	0.8102	0.4772	0.7061	0.7124	-0.9128
X2	0.8102	1.0000	-0.7213	-0.1992	-0.8415	0.8920
X3	0.4772	-0.7213	1.0000	0.1973	-0.5309	0.6757
X4	0.7061	-0.1992	0.1973	1.0000	-0.2226	0.4754
X5	0.7124	-0.8415	-0.5309	-0.2226	1.0000	0.8364
X6	-0.9128	0.8920	0.6757	0.4754	0.8364	1.0000

Correlação (marginal)
entre pares de variáveis

```
> r<-round(cor(caes),2)
```

	X1	X2	X3	X4	X5	X6
X1	1.00	0.95	0.92	0.98	0.78	0.81
X2	0.95	1.00	0.88	0.95	0.71	0.85
X3	0.92	0.88	1.00	0.97	0.88	0.94
X4	0.98	0.95	0.97	1.00	0.85	0.91
X5	0.78	0.71	0.88	0.85	1.00	0.89
X6	0.81	0.85	0.94	0.91	0.89	1.00

Correlação parcial entre pares
de variáveis dado as demais.

Testar a significância das pcor!

Correlação Parcial

Exemplo: Dados dos Cães Pré-históricos - “Aprendizado” da relação entre variáveis

```
> pc<-pcor(x=caes)  
> round(pc$estimate, 2)
```

	X1	X2	X3	X4	X5	X6
X1	1.00	0.81	0.48	0.71	0.71	-0.91
X2	0.81	1.00	-0.72	-0.20	-0.84	0.89
X3	0.48	-0.72	1.00	0.20	-0.53	0.68
X4	0.71	-0.20	0.20	1.00	-0.22	0.48
X5	0.71	-0.84	-0.53	-0.22	1.00	0.84
X6	-0.91	0.89	0.68	0.48	0.84	1.00

```
> pc<-pcor(x=caes)  
> round(pc$p.value, 3)
```

	X1	X2	X3	X4	X5	X6
X1	0.000	0.399	0.683	0.501	0.495	0.268
X2	0.399	0.000	0.487	0.872	0.363	0.299
X3	0.683	0.487	0.000	0.874	0.644	0.528
X4	0.501	0.872	0.874	0.000	0.857	0.685
X5	0.495	0.363	0.644	0.857	0.000	0.369
X6	0.268	0.299	0.528	0.685	0.369	0.000

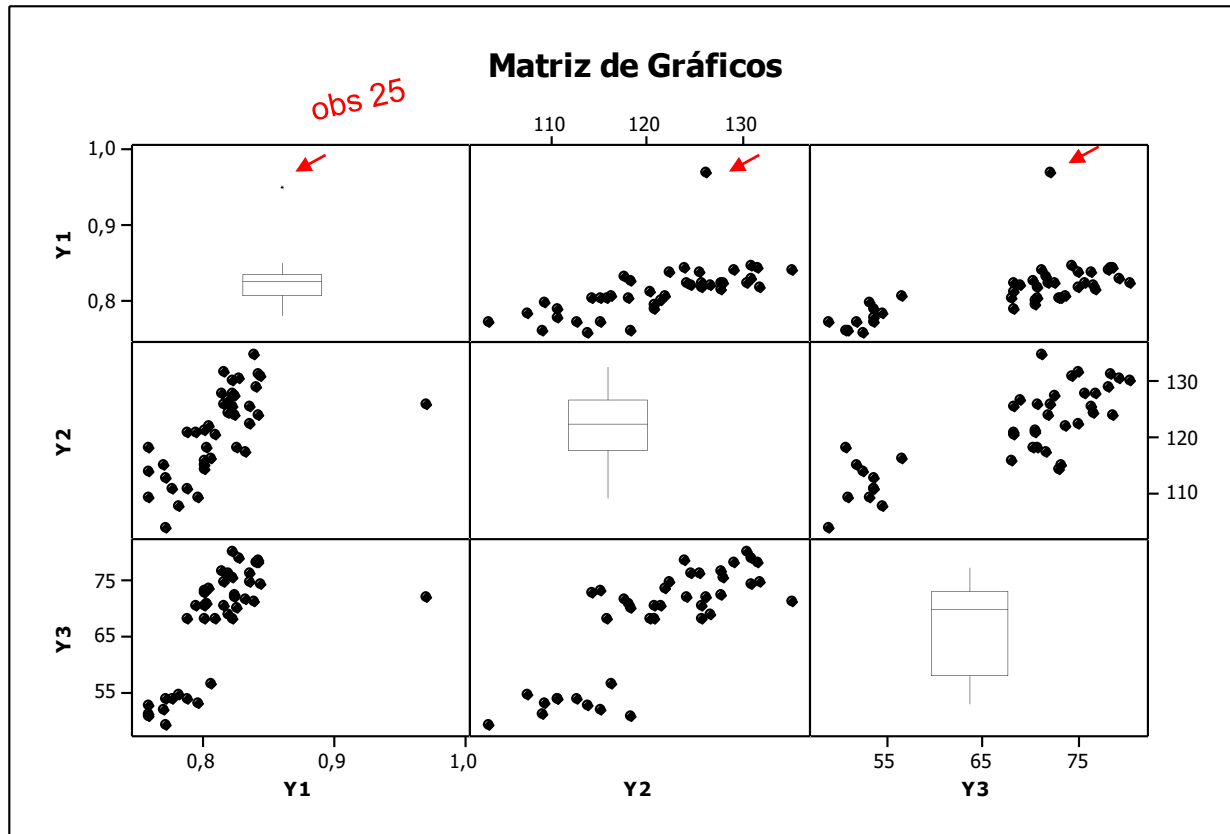
Independência
condicional

Correlações Parciais:

	X1	X2	X3	X4	X5	X6
--	----	----	----	----	----	----

Caso 1 ou 2: variáveis
correlacionadas marginalmente
MAS independentes
condicionalmente

Observações Atípicas – Diagnóstico Gráfico



Johnson and Wichern, 2002

Causas para a ocorrência de observações atípicas:

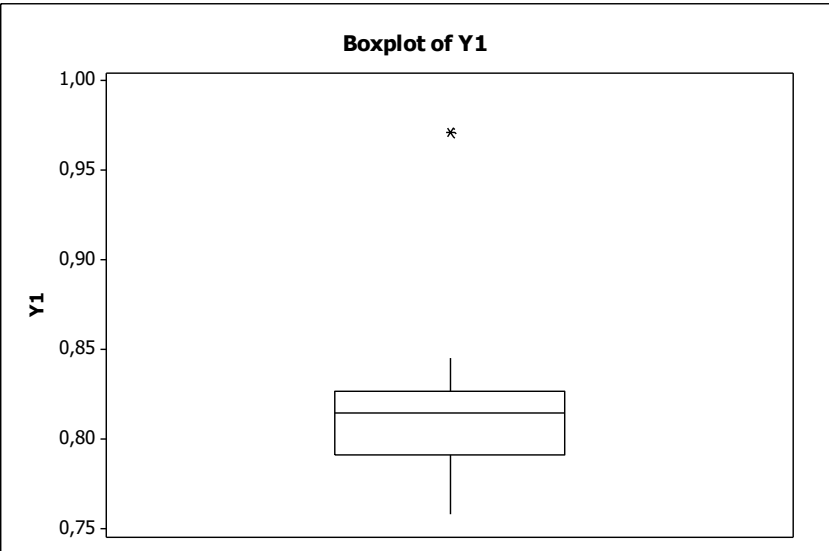
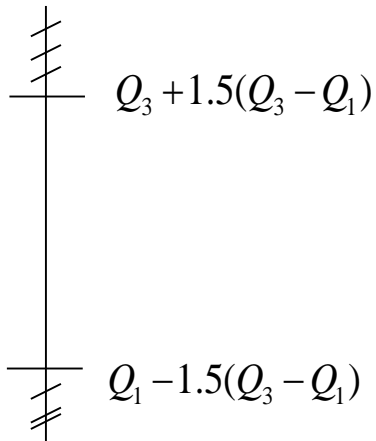
- falta de controle amostral ou experimental
- amostragem de população heterogênea (estratificação)
- erros de mensuração
- erros no controle de qualidade dos dados
- variabilidade genuína

- ⇒ Obs 25 é um valor atípico (aberrante, *outlier*) unidimensional para Y1 (boxplot de Y1) mas não para Y2 ou Y3 (ver boxplot de Y2 e Y3)
- ⇒ Obs 25 é um valor atípico bidimensional para (Y1,Y2) e para (Y1,Y3), mas não para (Y2,Y3)

Valor Atípico Unidimensional

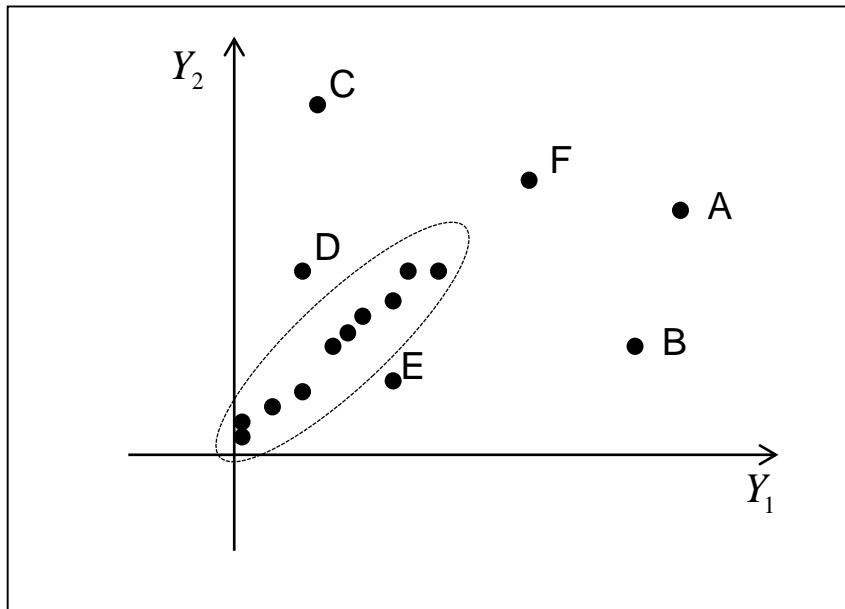
$$Y = (Y_1, \dots, Y_n); \quad Y_i \in \mathfrak{R}, \quad i = 1, 2, \dots, n$$

- Critério do Boxplot:



- Dados Padronizados: $Z_i = \frac{Y_i - \bar{Y}}{s}$ $P(|Z| \geq 2,5) = 0,012$ (Hair et al., 1998)
 - Medida de Distância: $d^2 = \frac{(Y_i - \bar{Y})^2}{s^2} \stackrel{(n-p) \rightarrow \infty}{\sim} \chi_1^2 \Rightarrow P(d^2 \leq c^2) \leq (1-\alpha)$
- a probabilidade de um ponto estar dentro do intervalo de concentração é $(1-\alpha)$

Valor Atípico Bidimensional



Qual é a influência destes pontos (A, B, C, D e F)

- na média e na variância de Y_1 e Y_2 ?
- na correlação entre Y_1 e Y_2 ?

- ⇒ Ponto A: aberrante tanto para Y_1 como para Y_2
- ⇒ Pontos B (C) é aberrante para Y_1 (Y_2) mas não para Y_2 (Y_1)
- ⇒ Pontos D e E: são aberrantes bidimensionais mas não unidimensionais
- ⇒ Ponto F: apesar de aberrante unidimensional (para Y_1 e Y_2) segue a tendência da nuvem de pontos amostrais

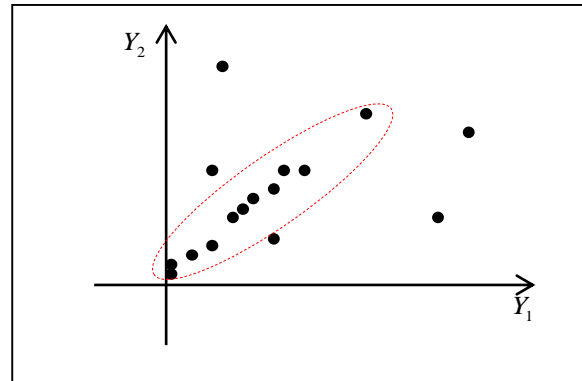
Valor Atípico Bidimensional

Diagnóstico de valores atípicos bidimensionais
(distantes da nuvem de dispersão conjunta dos pontos):

A distância Euclidiana de P ao centro,

$$d_E^2(Y_i; C) = (Y_{i2 \times 1} - \bar{Y}_{2 \times 1})' (Y_{i2 \times 1} - \bar{Y}_{2 \times 1})$$

não leva em conta a correlação e há dificuldade em estabelecer um critério de diagnóstico.



Distância de Mahalanobis

$$d_M^2(Y_i; C) = (Y_{i2 \times 1} - \bar{Y}_{2 \times 1})' S^{-1} (Y_{i2 \times 1} - \bar{Y}_{2 \times 1})$$

S: matrix de covariância

Diagnóstico: $d_M^2 \xrightarrow{n \rightarrow \infty} \chi_2^2 \Rightarrow P(d_M^2 \leq c^2) \leq (1 - \alpha)$

$$\left\{ (Y - \bar{Y})' S^{-1} (Y - \bar{Y}) = c^2 \right\}$$

Elipse de concentração de pontos bidimensionais, centrada na média. Os eixos principais (direção e comprimento) podem ser obtidos da decomposição espectral de S.

Valor Atípico Multidimensional

Identificação de valores atípicos (observações outliers)

Distância de Mahalanobis (Distância Generalizada) de pontos amostrais ao centróide:

$$d_M^2(P; C) = (Y_{p \times 1} - \bar{Y}_{p \times 1})' S^{-1} (Y_{p \times 1} - \bar{Y}_{p \times 1})$$
$$d_M^2 \xrightarrow{n \rightarrow \infty} \chi_p^2 \Rightarrow P(d_M^2 \leq c^2) \leq (1 - \alpha)$$
$$\Rightarrow \frac{d_M^2}{p} \xrightarrow{(n-p) \rightarrow \infty} t_p^2$$

critério
assintótico e sob
normalidade

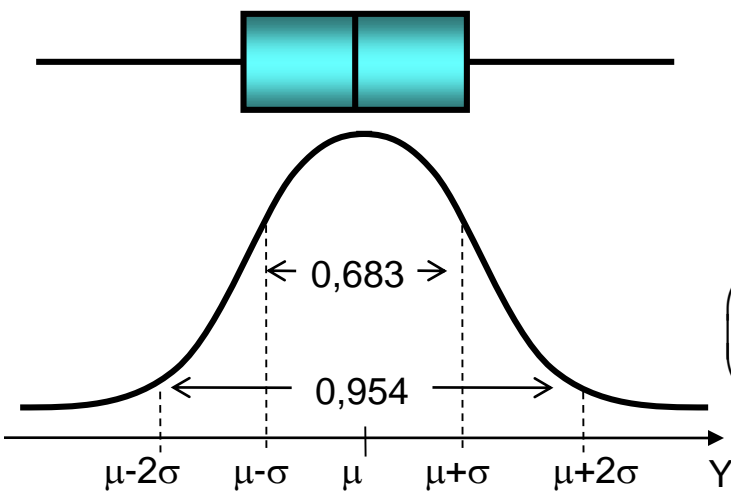
$\left\{ (Y - \bar{Y})' S^{-1} (Y - \bar{Y}) = c^2 \right\}$ Estes **elipsóides** estão centrados na média, seus eixos estão na direção dos autovetores (V_j) de S e os comprimentos desses eixos são proporcionais à raiz quadrada dos autovalores (λ_j) de S .

Os elipsóides têm eixos $\pm c \sqrt{\lambda_j} V_{kj}$, em que $|S - \lambda I_p| = 0$, $SV_j = \lambda_j V_j$, $j = 1, \dots, p$.

No elipsóide sólido, os valores $\mathbf{y} \in \mathbb{R}^p$, satisfazendo

$(\mathbf{y} - \bar{Y})' S^{-1} (\mathbf{y} - \bar{Y}) \leq \chi_p^2(\alpha)$ têm probabilidade $1 - \alpha$ de ocorrerem.

Distribuição Normal Multivariada



$$Y_i \sim N_1(\mu, \sigma^2)$$

Normal Univariada

$$\Rightarrow f(y_i) = \frac{1}{\sqrt{2\pi\sigma^2}} e^{-\frac{[(y_i-\mu)/\sigma]^2}{2}} I_{(-\infty, \infty)}(y_i)$$

$\left(\frac{y_i - \mu}{\sigma}\right)^2 = (y_i - \mu)\sigma^{-2}(y_i - \mu)$ mede a distância ao quadrado de y a μ em unidades de desvios padrão



Normal p-Variada

$$Y_{i \times p} \sim N_p(\mu_{p \times 1}; \Sigma_{p \times p})$$

Σ : matriz simétrica positiva-definida

$$\Rightarrow f(y_i) = \frac{1}{(2\pi)^{p/2} |\Sigma|^{1/2}} e^{-\frac{(y_i - \mu)' \Sigma^{-1} (y_i - \mu)}{2}} I_{(-\infty, \infty)}(y_{ij}); j = 1, \dots, p$$

$$\left\{ d_M^2(Y_i; \mu) = (Y_i - \mu)' \Sigma^{-1} (Y_i - \mu) = c^2 \right\}$$

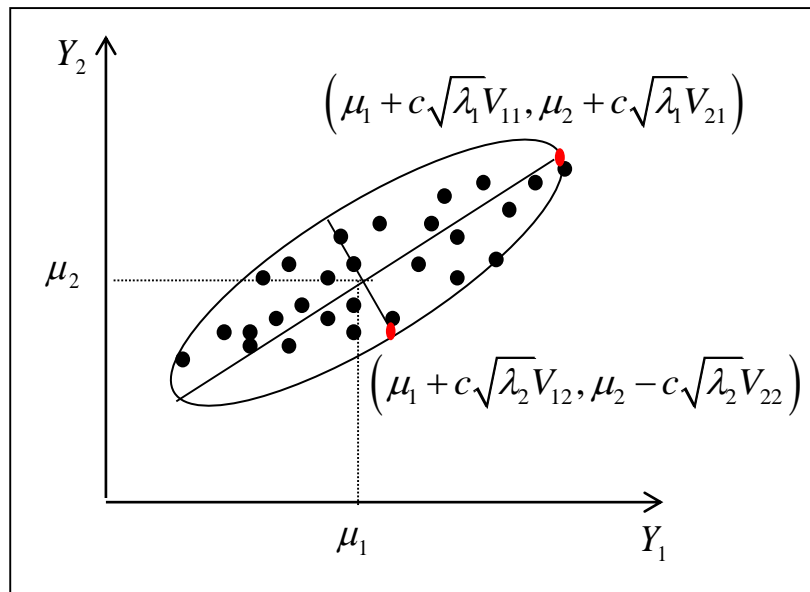
: a densidade é constante onde a distância ao quadrado é constante \Rightarrow elipsóide centrado em μ

Elipse de Concentração de Observações

Exemplo da Normal bivariada:

$$\mathbf{Y}_{2 \times 1} = \begin{pmatrix} y_1 \\ y_2 \end{pmatrix} \sim N_2 \left(\boldsymbol{\mu} = \begin{pmatrix} \mu_1 \\ \mu_2 \end{pmatrix}, \boldsymbol{\Sigma}_{2 \times 2} = \begin{pmatrix} \sigma_{11} & \sigma_{12} \\ \sigma_{21} & \sigma_{22} \end{pmatrix} \right); \quad \sigma_{11} = \sigma_{22}$$

Elipse de Concentração de observações



$$d_M^2 \sim \chi_2^2 \Rightarrow P(d_M^2 \leq c^2) \leq (1-\alpha)$$

Obter c para a inclusão de 90%, 95% e 98% dos pontos amostrais.

Os eixos da elipse de concentração são calculados pela decomposição espectral de Σ :

$$|\Sigma - \lambda I_2| = 0 \quad \text{autovalores}$$
$$\Rightarrow \lambda_1 = \sigma_{11} + \sigma_{12} \quad \lambda_2 = \sigma_{11} - \sigma_{12}$$

$$\Sigma V_j = \lambda_j V_j \quad \text{autovetores}$$
$$\Rightarrow V_1 = \begin{pmatrix} 1/\sqrt{2} \\ 1/\sqrt{2} \end{pmatrix} \quad V_2 = \begin{pmatrix} 1/\sqrt{2} \\ -1/\sqrt{2} \end{pmatrix}$$

$$\Rightarrow V_j' V_j = 1 \quad V_j' V_{j'} = 0$$

Elipsoide de Concentração de Observações

Distribuição Normal Multivariada:

$$Y_{i \times 1} \sim N_p(\mu_{p \times 1}; \Sigma_{p \times p}), \quad f_{Y_i}(y) = \frac{1}{(2\pi)^{p/2} |\Sigma|^{1/2}} e^{-(y-\mu)' \Sigma^{-1} (y-\mu)/2} \quad |\Sigma| > 0, y \in \Re^p, i=1, \dots, n$$

$$d_M^2 = (Y_i - \mu)' \Sigma^{-1} (Y_i - \mu) = c^2 \quad \Rightarrow \text{elipsoide centrado em } \mu: \text{a densidade é constante onde a distância ao quadrado é constante}$$

$$d_M^2 = (Y_i - \mu)' \Sigma^{-1} (Y_i - \mu) = (Y_i - \mu)' \left[\sum_{j=1}^p \lambda_j^{-1} V_j V_j' \right] (Y_i - \mu) = \sum_{j=1}^p \left(\frac{V_j' (Y_i - \mu)}{\lambda_j} \right)^2 \sim \chi_p^2$$

$$\Sigma = V \Lambda V' = \sum_{j=1}^p \lambda_j V_j V_j'; \quad \Sigma^{-1} = V \Lambda^{-1} V' = \sum_{j=1}^p \lambda_j^{-1} V_j V_j'; \quad iid N_1(0;1)$$

$$P(Y_i \in \Re^p; d_M^2(Y_i; \mu) \leq c^2) = 1 - \alpha;$$

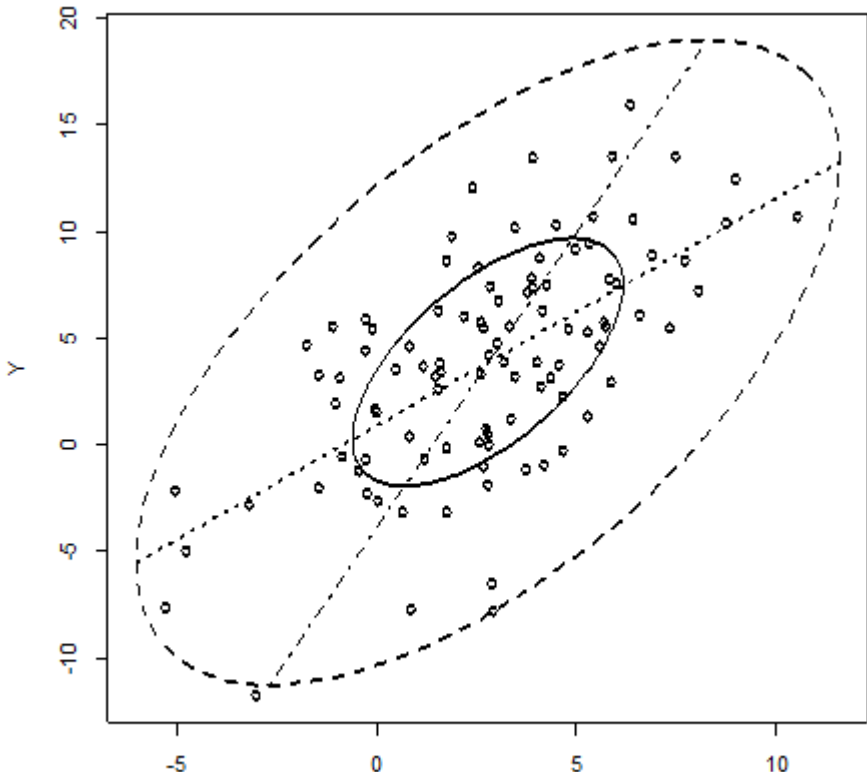
$$c^2 = \chi_p^2(\alpha) \quad \text{Percentil } (1-\alpha)100\% \text{ da Qui-Quadrado}$$

Elipsoide de Concentração para os dados $Y_i \Rightarrow$ pode ser usado como um critério de diagnóstico de pontos *outliers*

BoxPlot Bivariado

Elipse de Concentração de Observações

$$\mu' = (3, 4) \quad \Sigma = \begin{pmatrix} 9 & 10 \\ 10 & 25 \end{pmatrix}$$



$$d_M^2 = (Y_i - \bar{Y})' S^{-1} (Y_i - \bar{Y}) \leq c^2 = \chi_p^2(\alpha)$$



Alternativas de critérios robustos
de diagnóstico (Everitt, 2007)

Boxplot Bivariado (Everitt, 2007)

A elipse no centro inclui 50% dos dados.

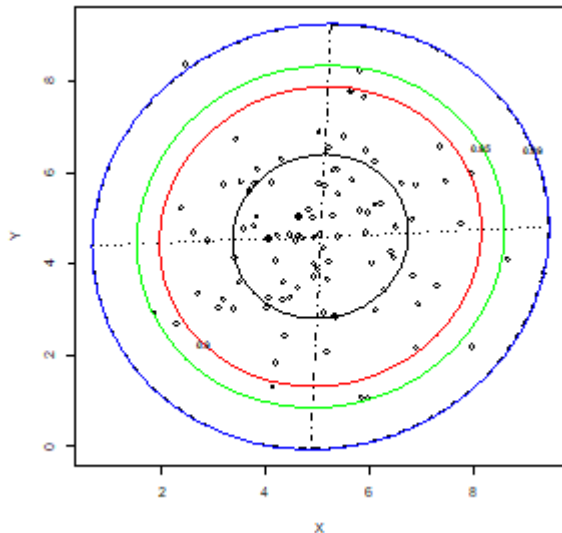
A elipse maior fornece um critério (robusto) de diagnóstico de observações atípicas.

São apresentadas retas de regressão (de y vs. x e de x vs. y) com o estimador do centróide na intersecção.

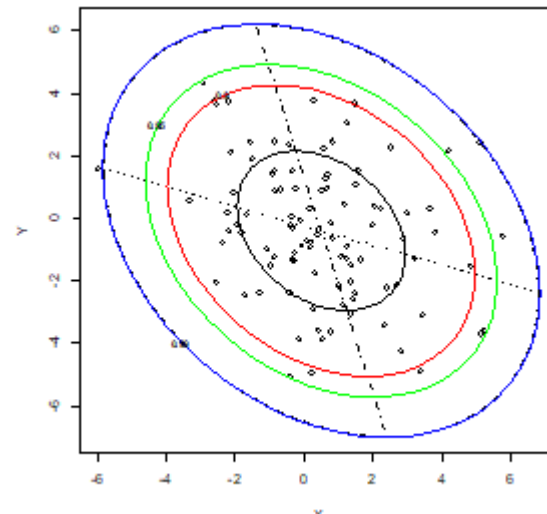
A construção das retas de regressão pode ser por estimacão robusta ou clássica.
Quanto menor o ângulo entre as retas maior é o valor absoluto da correlação.

Note que na normal bivariada ambos, Y e X, são variáveis aleatórias. A construção das retas de regressão é um “abuso” justificado pela intenção de ilustrar as direções de eixos de variação dos dados.

$$\mu' = (5, 5) \quad \Sigma = \begin{pmatrix} 2 & 0 \\ 0 & 2 \end{pmatrix}$$

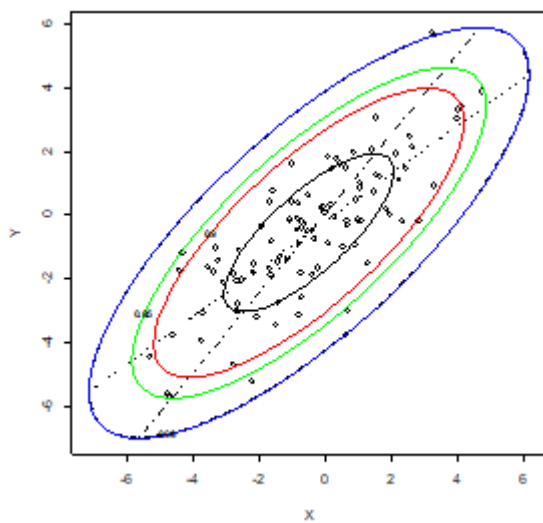


$$\mu' = (0, 0) \quad \Sigma = \begin{pmatrix} 4 & -1 \\ -1 & 4 \end{pmatrix}$$

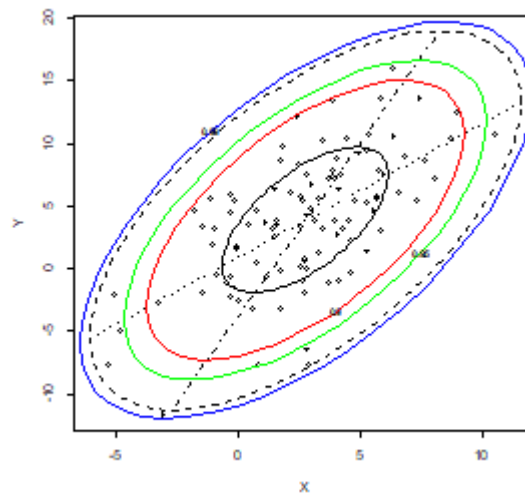


*Função bivbox
(Everitt, 2005)*

$$\mu' = (0, 0) \quad \Sigma = \begin{pmatrix} 4 & 3 \\ 3 & 4 \end{pmatrix}$$



$$\mu' = (3, 4) \quad \Sigma = \begin{pmatrix} 9 & 10 \\ 10 & 25 \end{pmatrix}$$



Aplicação: Banco de Dados HATCO

Unidades amostrais: Clientes da HATCO

(Hair et al., 2005)

ID	X1	X2	X3	X4	X5	X6	X7	X8	X9	X10	X11	X12	X13	X14
1	4,1	0,6	6,9	4,7	2,4	2,3	5,2	0	32	4,2	1	0	1	1
2	1,8	3,0	6,3	6,6	2,5	4,0	8,4	1	43	4,3	0	1	0	1
3	3,4	5,2	5,7	6,0	4,3	2,7	8,2	1	48	5,2	0	1	1	2
4	2,7	1,0	7,1	5,9	1,8	2,3	7,8	1	32	3,9	0	1	1	1
5	6,0	0,9	9,6	7,8	3,4	4,6	4,5	0	58	6,8	1	0	1	3
6	1,9	3,3	7,9	4,8	2,6	1,9	9,7	1	45	4,4	0	1	1	2
...														
97	6,1	0,5	9,2	4,8	3,3	2,8	7,1	0	60	5,2	1	0	1	3
98	2,0	2,8	5,2	5,0	2,4	2,7	8,4	1	38	3,7	0	1	0	1
99	3,1	2,2	6,7	6,8	2,6	2,9	8,4	1	42	4,3	0	1	0	1
100	2,5	1,8	9,0	5,0	2,2	3,0	6,0	0	33	4,4	1	0	0	1

Var. da Percepção dos Clientes
sobre o Fornecedor (HATCO)

Escala: [0,10]

Var. do Produto

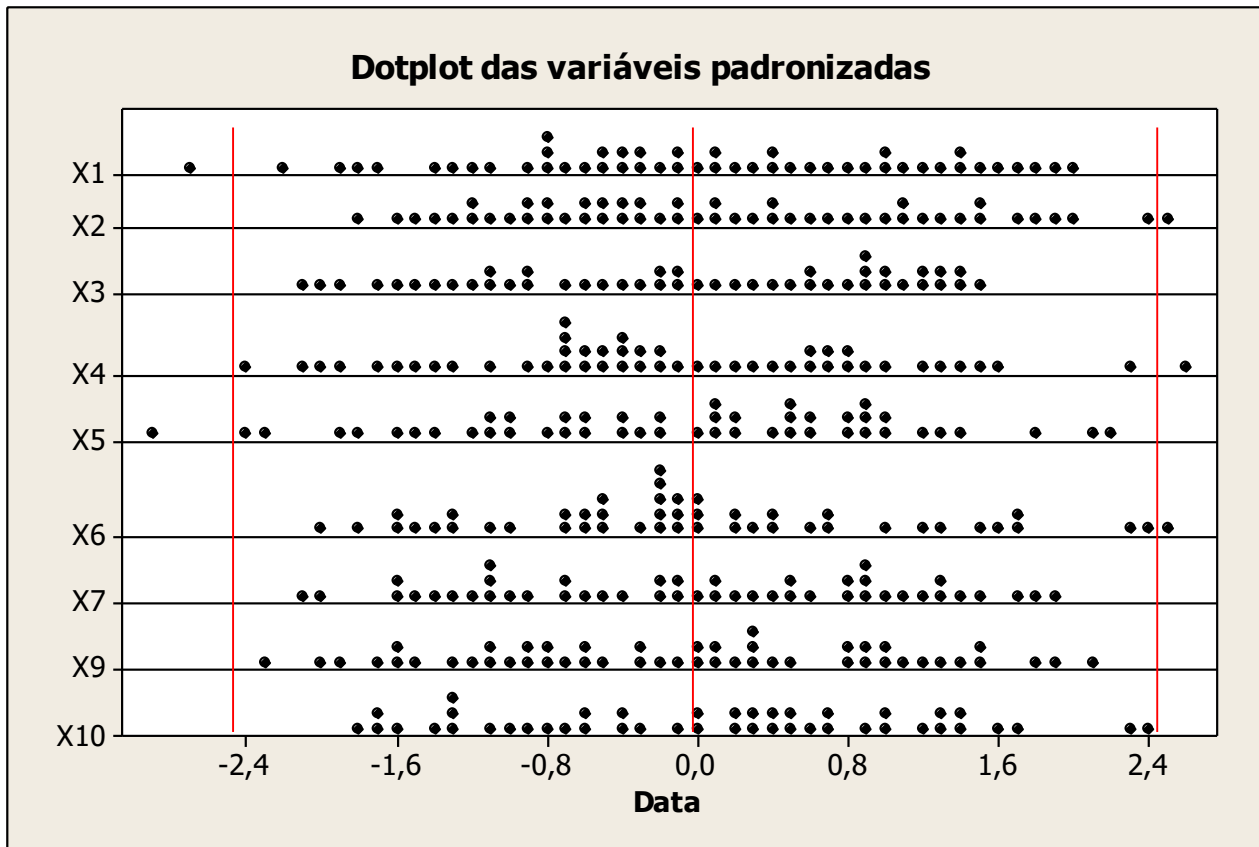
Escala X9: [0,100]

Escala X10: [0,10]

Demais variáveis:
Características do
Cliente (empresa
compradora)

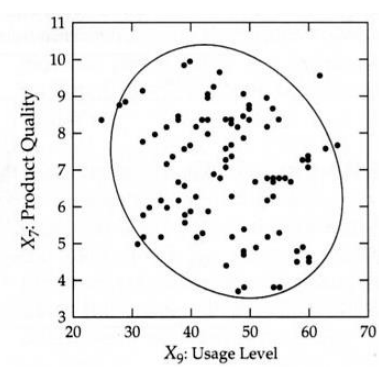
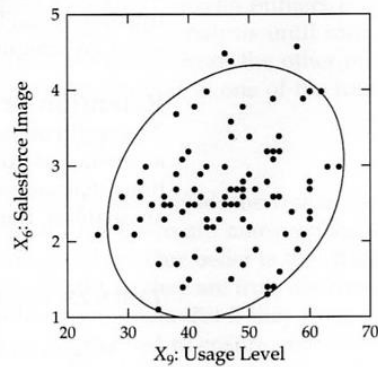
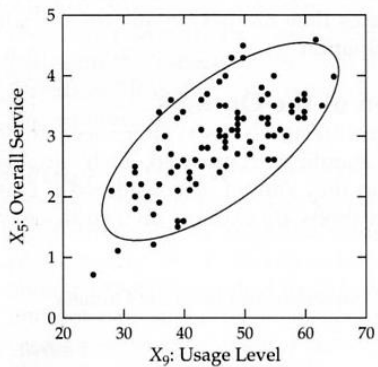
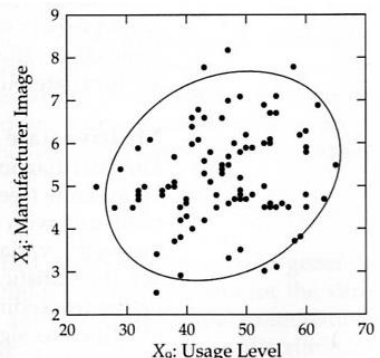
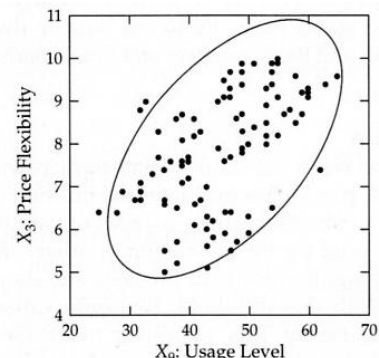
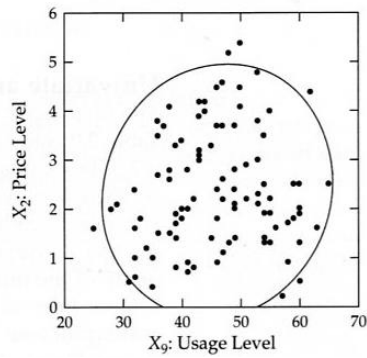
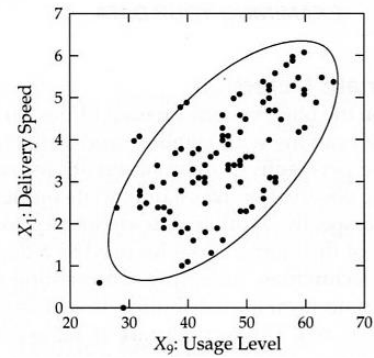
Valor Atípico Unidimensional

Variáveis padronizadas: $Z_{i\ p \times 1} = D_{\sqrt{s_{jj}}}^{-1} (Y_{i\ p \times 1} - \bar{Y}_{p \times 1})$



Casos atípicos: escores z excedendo $\pm 2,5$
 $P(|Z_{ij}| \geq 2,5) = 0,012$

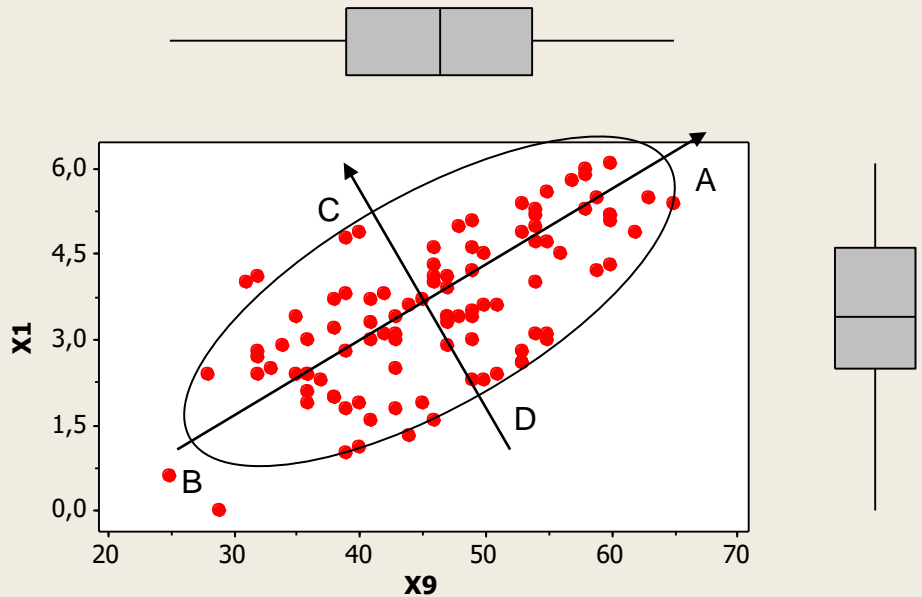
Valor Atípico Bidimensional



Elipse de concentração: $(Y_i - \bar{Y})' S^{-1} (Y_i - \bar{Y}) \leq \chi^2_2 (\alpha = 0,10) = 4,61$

A direção dos eixos da elipse é definida pelos autovetores e os raios são proporcionais aos autovalores .

Elipse de Concentração de Pontos



$$\bar{Y}_{2 \times 1} = \begin{pmatrix} \bar{Y}_9 = 46,1 \\ \bar{Y}_1 = 3,5 \end{pmatrix}$$

$$S_{2 \times 2} = \begin{pmatrix} s_9^2 = 80,80 & s_{91} = 8,08 \\ s_{91} = 8,08 & s_1^2 = 1,74 \end{pmatrix}$$

Decomposição Espectral de S:

$$V' S V = \Lambda$$

$$|S - \lambda I| = 0 \Rightarrow S V_j = \lambda_j V_j$$

$$\Lambda = \begin{pmatrix} 81,61 & 0 \\ 0 & 0,94 \end{pmatrix} \quad V = \begin{pmatrix} 0,99 & -0,10 \\ 0,10 & 0,99 \end{pmatrix}$$

$$A = \left(\bar{Y}_9 + \sqrt{4,6} \sqrt{81,6} \ 0,99 ; \bar{Y}_1 + \sqrt{4,6} \sqrt{81,6} \ 0,10 \right)$$

$$B = \left(\bar{Y}_9 - \sqrt{4,6} \sqrt{81,6} \ 0,99 ; \bar{Y}_1 - \sqrt{4,6} \sqrt{81,6} \ 0,10 \right)$$

$$C = \left(\bar{Y}_9 + \sqrt{4,6} \sqrt{0,94} \ (-0,10) ; \bar{Y}_1 + \sqrt{4,6} \sqrt{0,94} \ 0,99 \right)$$

$$D = \left(\bar{Y}_9 - \sqrt{4,6} \sqrt{0,94} \ (-0,10) ; \bar{Y}_1 - \sqrt{4,6} \sqrt{0,94} \ 0,99 \right)$$

Valor Atípico Multidimensional

Valores Aberrantes Univariados

Variável	Unidade Amostral
X1	39
X2	71
X3	-
X4	82
X5	96
X6	5, 42
X7	-
X9	-

$$Z_{i \times 1} = D_{s_{jj}}^{-1/2} (Y_{i \times 1} - \bar{Y}_{p \times 1})$$

$$P(|Z_{ij}| \geq 2,5) = 0,012$$

Valores Aberrantes Bivariados

Variável	Unidade Amostral
X1	1, 3, 95, 96
X2	3, 49, 57, 71, 96, 97
X3	11, 57, 96, 100
X4	5, 22, 42, 50, 72, 82, 93, 96
X5	3, 22, 39, 57, 71, 96
X6	5, 7, 42, 82, 96
X7	57, 58, 95, 96

$$(Y_i - \bar{Y})' S^{-1} (Y_i - \bar{Y}) \leq \chi^2_2 (\alpha = 0,10) = 4,61$$

Valor Atípico Multidimensional

7 var. de percepção

χ^2_7

$$\left(Y_i - \bar{Y} \right)' S^{-1} \left(Y_i - \bar{Y} \right) \leq \chi^2_7 (\alpha = 0,10) = 12,017$$

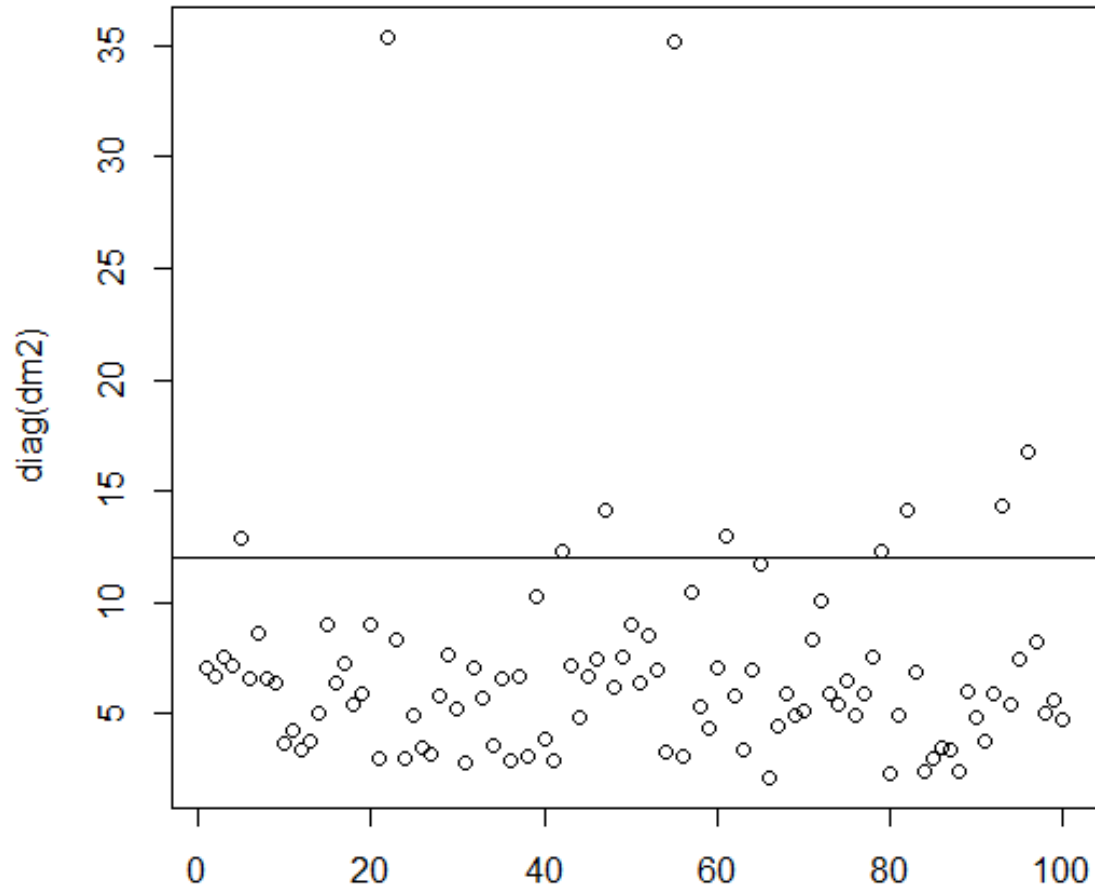
ID	DM2	Valor p
1	7,0313	0,425624
2	6,6914	0,461700
3	7,5671	0,372310
4	7,1030	0,418239
5	12,8700	0,075339
6	6,5166	0,480887
7	8,6345	0,279974
8	6,5626	0,475791
9	6,3753	0,496674
10	3,6258	0,821726
11	4,2366	0,752162
12	3,3892	0,846818
13	3,7682	0,806053
14	5,0297	0,656340
15	8,9619	0,255403
16	6,3977	0,494158
17	7,2120	0,407143
18	5,3501	0,617322
19	5,8987	0,551621
20	8,9619	0,255403
21	2,9782	0,887015
22	35,3897	0,000009
23	8,3329	0,304153
24	2,9743	0,887365
25	4,9087	0,671105

ID	DM2	Valor p
26	3,4629	0,839137
27	3,1712	0,868727
28	5,7654	0,567395
29	7,6008	0,369111
30	5,1885	0,636976
31	2,7506	0,907079
32	7,0239	0,426397
33	5,6784	0,577758
34	3,5292	0,832124
35	6,5393	0,478369
36	2,8996	0,894131
37	6,7041	0,460322
38	3,0296	0,882253
39	10,2131	0,176818
40	3,8267	0,799508
41	2,8975	0,894317
42	12,2819	0,091662
43	7,1289	0,415580
44	4,8189	0,682055
45	6,6704	0,463984
46	7,4751	0,381142
47	14,0940	0,049535
48	6,1518	0,522138
49	7,5605	0,372936
50	9,0287	0,250600

ID	DM2	Valor p
51	6,3615	0,498228
52	8,4673	0,293196
53	6,9126	0,438032
54	3,2441	0,861537
55	35,1975	0,000010
56	3,0818	0,877331
57	10,4877	0,162579
58	5,2655	0,627600
59	4,3477	0,738973
60	7,0123	0,427602
61	13,0008	0,072089
62	5,7983	0,563488
63	3,3222	0,853686
64	6,9256	0,436670
65	11,6830	0,111476
66	2,1085	0,953590
67	4,3815	0,734930
68	5,9247	0,548566
69	4,8776	0,674902
70	5,0570	0,653002
71	8,2943	0,307357
72	10,0950	0,183252
73	5,8874	0,552957
74	5,3634	0,615710
75	6,4714	0,485907

ID	DM2	Valor p
76	4,9253	0,669075
77	5,8474	0,557679
78	7,5221	0,376609
79	12,2787	0,091758
80	2,2699	0,943405
81	4,9429	0,666935
82	14,1176	0,049129
83	6,8374	0,446005
84	2,3659	0,936850
85	3,0164	0,883479
86	3,4932	0,835941
87	3,3539	0,850447
88	2,4175	0,933182
89	6,0111	0,538460
90	4,8599	0,677060
91	3,7626	0,806675
92	5,8410	0,558434
93	14,3281	0,045644
94	5,4068	0,610451
95	7,3910	0,389330
96	16,7080	0,019380
97	8,1952	0,315694
98	4,9898	0,661203
99	5,5865	0,588769
100	4,7045	0,695974

Observação Atípica Multidimensional Diagnóstico – Distância de Mahalanobis



$$d_M^2 \leq \chi_7^2 (\alpha = 0,10) = 12,017$$

Tópicos Adicionais

Como medir “relação” entre variáveis (p vetores em \mathbb{R}^n)?

Como medir “distância” entre observações (n vetores em \mathbb{R}^p)?

- ✓ Correlação de Pearson: das variáveis originais ou padronizadas
- ✓ Distância Euclidiana, Distância de Pearson, Distância de Mahalanobis
- ✓ Matriz de Precisão

- Medidas de correlação robustas (cálculo de R): Spearman, Kendall
- Correlações Parciais (Grafos Não direcionados) \Rightarrow Grafos Direcionados
- Matrizes de importância entre variáveis: AHP (Saaty, 1980)
- Dados compostionais: transformação de Aitchison (Aitchison, 2003)
- Matriz de dados quantitativos e qualitativos: como combinar informação? (medidas de distância ponderada – Johnson and Whichern, 2008)
- Dados incompletos: imputação
- ...